

埼玉大学工学部 正員 梶枝 藤  
東京大学工学部 正員 五井 信行  
中部電力 服部 邦男

## 1. はじめに

貯水池濁水化現象に関連した二重拡散現象についての解明において、前報<sup>[1]</sup>で初期の密度分布が線型であつて時間の経過とともに密度の不連続面をはさむた階段状の構造が形成されることを述べた。今回は、そうちた不連続界面の発生、消滅の過程について、実験的、解析的な検討を行つた。

## 2. 連続成層から形成された階段状構造の場合

多層構造が発達したのち、混合層間の塩分(濁質)による密度差  $\beta\Delta S$  と、温度による密度差  $\alpha\Delta T$  の関係をプロットしたもののが、図I、IIである。図中で黒い印のものは、次の測定の際には存在しなかつたものを示している。この図から、 $R = \beta\Delta S / \alpha\Delta T$  は、熱湯熱湯にかかわらずほぼ  $2 < R < 2$  の間に分布していることがわかる。

## 3. 不連続界面を持つ場合の時間的变化

初期密度分布がほぼ不連続な場合に下方から加熱すると、下層水温はすぐに上昇し始めるが、層間の境界層のために、上層へはほどんど熱が伝わっていない。そのために初期には上下層間の温度差は増大する。その後  $R \sim 2$  に達すると、境界層の密度分布は変化し始め、下層に生じた対流に侵食され薄くなつてへく。また、この時に境界層内部に階段状構造が生じるものもみられた。その後は、境界層厚さはほどんどなくなり、界面は上下に激しく変動するようになる。また、上下層内には層規模の対流が存在し、そのせん断応力により、対流の激しい層へ。

もう一方の層の流体が細く引き伸ばされて連行されていつてはいる。しかも、こうした現象は、変動した界面の頂部で顕著に起こつており、界面変動が混合にかかり寄り合つてゐることがわかる。また、このような連行が存在してゐるために、平均的な界面の位置もだいぶに変化してはつてはる。つぎに、温度による密度差と塩分(濁質)による密度差の時間的变化を図IIIに示す。境界層の厚さが大きい初めの間は、温度、塩分(濁質)とともに上層に伝わりにくひので温度差のみが増加してはつてはるが、 $R$  が 2 より少しうまひあたりで、今度は温度による密度差、

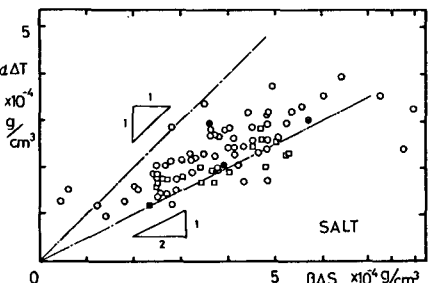


図 I

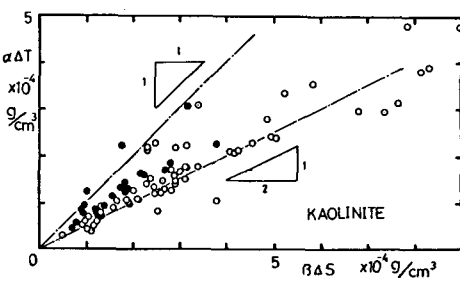


図 II

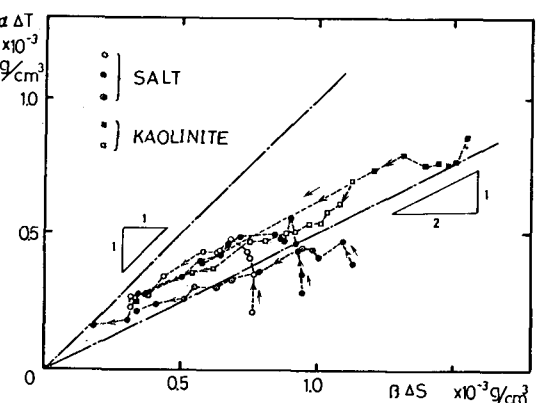


図 III

塩分(濁質)による密度差とともに減少してはつてはる。この場合、特徴的なことは、 $R \sim 1.7$  程度で減少し始めたものについては、そのままには同じ  $R$  の値を持続し、絶対的な密度差が十分小さくなつて初めて、 $R=1$  となり、上層と下層が一体化してはつてはる。このことは、上述1で初期密度分布が連続的なものについて、階段構造

が形成された時の、塩分(湯質)、温度による混合層間の密度差をプロットした図Ⅳ、Ⅴの特徴とはほぼ一致している。

#### 4. 層間の塩分(湯質)、温度フラックス

上下層間の塩分(湯質)および熱フラックスの比  $\beta F_{S_1}/\alpha F_{T_1}$  を R に対して示したもののが図Ⅳである。この図からわかる通り、R=2付近では、熱・塩二重拡散系と熱・湯二重拡散系の間で明らかな差異がみられ、塩分フラックスと熱フラックスの比の方が、湯質フラックスと熱フラックスの比よりも大きな値をもつてゐる。また、R<2の状態では、双方に有意な差はみられない。また、塩分についてのものは、Turner(1965)<sup>(4)</sup>、Crapper(1975)<sup>(2)</sup>の実験結果とほぼ同一の結果となつてゐる。図中の実線は、Linden(1974)<sup>(3)</sup>が半理論的に導いた関係式であるが、これについてもほぼ実験値と一致している。つぎに、今回の実験は、底板からの熱の供給が伝導によつているために、底板から流体中に流入する熱フラックス  $F_{T_0}$  と、下層から上層へ流入する熱フラックス  $F_{T_1}$  との間に関係があることが予想される。その関係を示したもののが図Ⅴである。R<2程度では、ほぼ

$$\frac{\alpha F_{T_1}}{\alpha F_{T_0}} \sim R^{-1}$$

の関係があることがわかる。

#### 5. 上下層の安定性

前項の結果を考慮して、上述した R=一定で密度差が減少する現象を考察してみる。R<2では、境界層はほぼ消滅し、上層および下層内では対流のためにほぼ一様となっている。また、層厚にはあまり変化しないために、密度差の時間的变化に関するもの。

$$\frac{d}{dt} \rho \Delta S = -2 \frac{\beta F_{S_1}}{h}, \quad \frac{d}{dt} \alpha \Delta T = \frac{\alpha F_{T_0}}{h} - 2 \frac{\alpha F_{T_1}}{h} \quad (1)$$

の関係がなりたつ。R の時間的变化に関しては、

$$\frac{d}{dt} R = \frac{d}{dt} \frac{\beta \Delta S}{\alpha \Delta T} = \frac{1}{h \Delta T} \left\{ -2 \beta F_{S_1} - \frac{\beta \Delta S}{\alpha \Delta T} (\alpha F_{T_0} - 2 \alpha F_{T_1}) \right\} \quad (2)$$

とするとために、R が時間的に ① 变化しない、② 増大する、③ 減少する場合は、(1) 式を代入して、

$$④ \frac{\beta F_{S_1}}{\alpha F_{T_1}} = R - \frac{R^2}{2} \quad ⑤ \frac{\beta F_{S_1}}{\alpha F_{T_1}} < R - \frac{R^2}{2} \quad ⑥ \frac{\beta F_{S_1}}{\alpha F_{T_1}} > R - \frac{R^2}{2} \quad (4)$$

とあらわせる。(4)の関係式により、現象は R → ∞ より R の小さくなる方向に、フラックス比を表わす曲線上に沿って進み、R=1/2 との初めの交点に達すると、そこが安定な点となっていことがわかる。この値は図より、ほぼ 1.6~1.7 程度で、図Ⅲの結果と一致している。つぎに、上下層の密度差については、(3) 式を代入して、

$$\frac{d}{dt} (\beta \Delta S - \alpha \Delta T) = \frac{1}{h} \left\{ -2 \beta F_{S_1} - \alpha F_{T_0} + 2 \alpha F_{T_1} \right\} = \frac{2 \alpha F_{T_1}}{h} \left\{ -\frac{\beta F_{S_1}}{\alpha F_{T_1}} + \left( 1 - \frac{R}{2} \right) \right\} \quad (5)$$

の関係が存在し、図Ⅳより (5) 式 < 0 となる。これらのこより、図Ⅲ中で初め  $\alpha \Delta T$  がだいに増大し、R ≈ 1.7 程度で今度はその R の値を保ちながら、原点に向かってく現象が説明を得た。

6. 結論： 不連続な境界面をもつ場合の二重拡散現象について実験・検討を行ない、時間的変化特性について、R =  $\beta \Delta S / \alpha \Delta T$  をパラメータとして、実験結果を説明し得る理論的な解を得た。

参考文献 (1)玉井・浅枝・高橋 第24回水講(1980) (2)Crapper, P.F. Deep-Sea Res. Vol. 22 (1975)

(3)Linden, P.F. Deep-Sea Res. Vol. 21 (1974) (4)Turner, J.S. Int. J. Heat Mass Transfer Vol. 8 (1965)

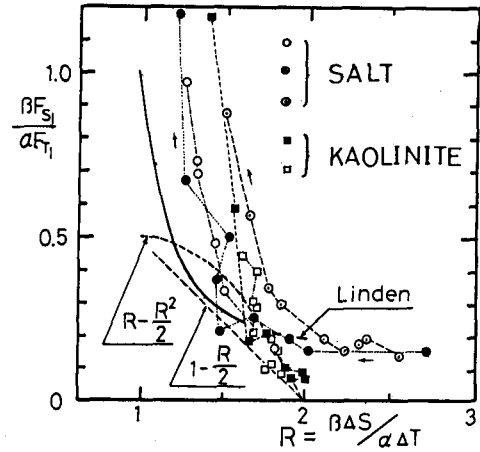


図 IV

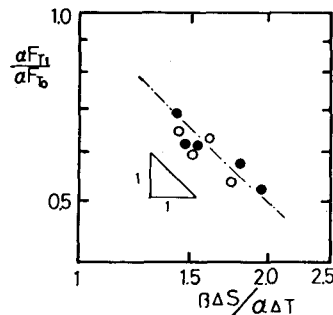


図 V